

Starkniederschlagshöhen und -spenden gemäß KOSTRA-DWD-2020

Rasterfeld 179119

(Zeile 179, Spalte 119)

Regenspende und Bemessungsniederschlagswerte in Abhängigkeit von Wiederkehrzeit T und Dauerstufe D

| Dauerstufe D | | Wiederkehrzeit T | | | | | | | | | | | | | | | | | |
|--------------|-----|------------------|------------|------|------------|------|------------|------|------------|------|------------|------|------------|-------|------------|-------|------------|-------|------------|
| | | 1 a | | 2 a | | 3 a | | 5 a | | 10 a | | 20 a | | 30 a | | 50 a | | 100 a | |
| min | Std | mm | l / (s ha) | mm | l / (s ha) | mm | l / (s ha) | mm | l / (s ha) | mm | l / (s ha) | mm | l / (s ha) | mm | l / (s ha) | mm | l / (s ha) | mm | l / (s ha) |
| 5 | | 8,5 | 283,3 | 10,6 | 353,3 | 11,9 | 396,7 | 13,6 | 453,3 | 16,1 | 536,7 | 18,6 | 620,0 | 20,3 | 676,7 | 22,4 | 746,7 | 25,6 | 853,3 |
| 10 | | 10,2 | 170,0 | 12,7 | 211,7 | 14,2 | 236,7 | 16,3 | 271,7 | 19,2 | 320,0 | 22,2 | 370,0 | 24,2 | 403,3 | 26,8 | 446,7 | 30,5 | 508,3 |
| 15 | | 11,2 | 124,4 | 13,9 | 154,4 | 15,7 | 174,4 | 17,9 | 198,9 | 21,1 | 234,4 | 24,5 | 272,2 | 26,7 | 296,7 | 29,5 | 327,8 | 33,6 | 373,3 |
| 20 | | 11,9 | 99,2 | 14,9 | 124,2 | 16,7 | 139,2 | 19,1 | 159,2 | 22,6 | 188,3 | 26,1 | 217,5 | 28,5 | 237,5 | 31,5 | 262,5 | 35,9 | 299,2 |
| 30 | | 13,1 | 72,8 | 16,3 | 90,6 | 18,3 | 101,7 | 20,9 | 116,1 | 24,7 | 137,2 | 28,6 | 158,9 | 31,1 | 172,8 | 34,5 | 191,7 | 39,3 | 218,3 |
| 45 | | 14,3 | 53,0 | 17,8 | 65,9 | 20,0 | 74,1 | 22,8 | 84,4 | 26,9 | 99,6 | 31,2 | 115,6 | 34,0 | 125,9 | 37,6 | 139,3 | 42,9 | 158,9 |
| 60 | 1 | 15,2 | 42,2 | 18,9 | 52,5 | 21,2 | 58,9 | 24,3 | 67,5 | 28,6 | 79,4 | 33,2 | 92,2 | 36,1 | 100,3 | 40,0 | 111,1 | 45,6 | 126,7 |
| 90 | 1,5 | 16,5 | 30,6 | 20,6 | 38,1 | 23,1 | 42,8 | 26,4 | 48,9 | 31,2 | 57,8 | 36,1 | 66,9 | 39,4 | 73,0 | 43,6 | 80,7 | 49,6 | 91,9 |
| 120 | 2 | 17,5 | 24,3 | 21,9 | 30,4 | 24,6 | 34,2 | 28,1 | 39,0 | 33,1 | 46,0 | 38,4 | 53,3 | 41,8 | 58,1 | 46,3 | 64,3 | 52,7 | 73,2 |
| 180 | 3 | 19,1 | 17,7 | 23,8 | 22,0 | 26,7 | 24,7 | 30,5 | 28,2 | 36,1 | 33,4 | 41,8 | 38,7 | 45,5 | 42,1 | 50,4 | 46,7 | 57,4 | 53,1 |
| 240 | 4 | 20,3 | 14,1 | 25,3 | 17,6 | 28,4 | 19,7 | 32,4 | 22,5 | 38,3 | 26,6 | 44,3 | 30,8 | 48,3 | 33,5 | 53,5 | 37,2 | 60,9 | 42,3 |
| 360 | 6 | 22,0 | 10,2 | 27,5 | 12,7 | 30,8 | 14,3 | 35,3 | 16,3 | 41,6 | 19,3 | 48,2 | 22,3 | 52,5 | 24,3 | 58,2 | 26,9 | 66,2 | 30,6 |
| 540 | 9 | 24,0 | 7,4 | 29,9 | 9,2 | 33,5 | 10,3 | 38,4 | 11,9 | 45,3 | 14,0 | 52,4 | 16,2 | 57,1 | 17,6 | 63,2 | 19,5 | 72,0 | 22,2 |
| 720 | 12 | 25,4 | 5,9 | 31,7 | 7,3 | 35,6 | 8,2 | 40,7 | 9,4 | 48,1 | 11,1 | 55,6 | 12,9 | 60,6 | 14,0 | 67,1 | 15,5 | 76,4 | 17,7 |
| 1080 | 18 | 27,6 | 4,3 | 34,5 | 5,3 | 38,7 | 6,0 | 44,2 | 6,8 | 52,2 | 8,1 | 60,5 | 9,3 | 65,9 | 10,2 | 73,0 | 11,3 | 83,1 | 12,8 |
| 1440 | 24 | 29,3 | 3,4 | 36,6 | 4,2 | 41,1 | 4,8 | 47,0 | 5,4 | 55,4 | 6,4 | 64,2 | 7,4 | 69,9 | 8,1 | 77,4 | 9,0 | 88,2 | 10,2 |
| 2880 | 48 | 33,8 | 2,0 | 42,2 | 2,4 | 47,4 | 2,7 | 54,2 | 3,1 | 63,9 | 3,7 | 74,0 | 4,3 | 80,7 | 4,7 | 89,3 | 5,2 | 101,7 | 5,9 |
| 4320 | 72 | 36,8 | 1,4 | 45,9 | 1,8 | 51,5 | 2,0 | 58,9 | 2,3 | 69,5 | 2,7 | 80,5 | 3,1 | 87,7 | 3,4 | 97,1 | 3,7 | 110,6 | 4,3 |
| 5760 | 96 | 39,0 | 1,1 | 48,7 | 1,4 | 54,6 | 1,6 | 62,5 | 1,8 | 73,8 | 2,1 | 85,4 | 2,5 | 93,0 | 2,7 | 103,0 | 3,0 | 117,3 | 3,4 |
| 7200 | 120 | 40,9 | 0,9 | 50,9 | 1,2 | 57,2 | 1,3 | 65,4 | 1,5 | 77,2 | 1,8 | 89,4 | 2,1 | 97,4 | 2,3 | 107,9 | 2,5 | 122,8 | 2,8 |
| 8640 | 144 | 42,4 | 0,8 | 52,9 | 1,0 | 59,4 | 1,1 | 67,9 | 1,3 | 80,2 | 1,5 | 92,8 | 1,8 | 101,1 | 2,0 | 112,0 | 2,2 | 127,5 | 2,5 |
| 10080 | 168 | 43,8 | 0,7 | 54,6 | 0,9 | 61,3 | 1,0 | 70,1 | 1,2 | 82,8 | 1,4 | 95,8 | 1,6 | 104,4 | 1,7 | 115,6 | 1,9 | 131,6 | 2,2 |

Starkniederschlagshöhen und -spenden gemäß KOSTRA-DWD-2020

Rasterfeld 179119

(Zeile 179, Spalte 119)

Örtliche Unsicherheiten in Abhängigkeit von Wiederkehrzeit T und Dauerstufe D

| Dauerstufe D | | Wiederkehrzeit T | | | | | | | | |
|--------------|-----|------------------|-----|-----|-----|------|------|------|------|-------|
| | | 1 a | 2 a | 3 a | 5 a | 10 a | 20 a | 30 a | 50 a | 100 a |
| min | Std | ± % | ± % | ± % | ± % | ± % | ± % | ± % | ± % | ± % |
| 5 | | 12 | 13 | 14 | 15 | 15 | 16 | 16 | 17 | 17 |
| 10 | | 15 | 17 | 18 | 19 | 20 | 20 | 21 | 21 | 22 |
| 15 | | 17 | 19 | 20 | 21 | 22 | 23 | 23 | 24 | 24 |
| 20 | | 18 | 20 | 21 | 22 | 23 | 24 | 25 | 25 | 26 |
| 30 | | 19 | 21 | 22 | 23 | 24 | 25 | 26 | 26 | 27 |
| 45 | | 20 | 22 | 23 | 24 | 25 | 26 | 26 | 27 | 28 |
| 60 | 1 | 20 | 22 | 23 | 24 | 25 | 26 | 26 | 27 | 27 |
| 90 | 1,5 | 19 | 21 | 22 | 23 | 25 | 25 | 26 | 26 | 27 |
| 120 | 2 | 19 | 21 | 22 | 23 | 24 | 25 | 25 | 26 | 27 |
| 180 | 3 | 18 | 20 | 21 | 22 | 23 | 24 | 25 | 25 | 26 |
| 240 | 4 | 17 | 19 | 20 | 21 | 22 | 23 | 24 | 24 | 25 |
| 360 | 6 | 16 | 18 | 19 | 20 | 21 | 22 | 23 | 23 | 24 |
| 540 | 9 | 15 | 17 | 18 | 19 | 20 | 21 | 22 | 22 | 23 |
| 720 | 12 | 15 | 17 | 17 | 18 | 19 | 20 | 21 | 21 | 22 |
| 1080 | 18 | 14 | 16 | 17 | 18 | 19 | 19 | 20 | 20 | 21 |
| 1440 | 24 | 14 | 15 | 16 | 17 | 18 | 19 | 19 | 20 | 20 |
| 2880 | 48 | 13 | 15 | 15 | 16 | 17 | 17 | 18 | 18 | 19 |
| 4320 | 72 | 14 | 14 | 15 | 16 | 16 | 17 | 17 | 18 | 18 |
| 5760 | 96 | 14 | 15 | 15 | 16 | 16 | 17 | 17 | 17 | 18 |
| 7200 | 120 | 15 | 15 | 15 | 16 | 16 | 17 | 17 | 17 | 18 |
| 8640 | 144 | 15 | 15 | 15 | 16 | 16 | 17 | 17 | 17 | 18 |
| 10080 | 168 | 15 | 15 | 16 | 16 | 16 | 17 | 17 | 17 | 18 |

Parameter für abweichende T und D

Lokationsparameter ξ (Xi)

15,26749244

Skalenparameter α (Alpha)

5,23854167

Formparameter κ (Kappa)

-0,1

1. Koutsoyiannis-Parameter θ (Theta)

0,00809379

2. Koutsoyiannis-Parameter η (Eta)

0,79421219

Parameter für dauerstufenübergreifende Extremwertschätzung nach KOUTSOYIANNIS et al. 1998.

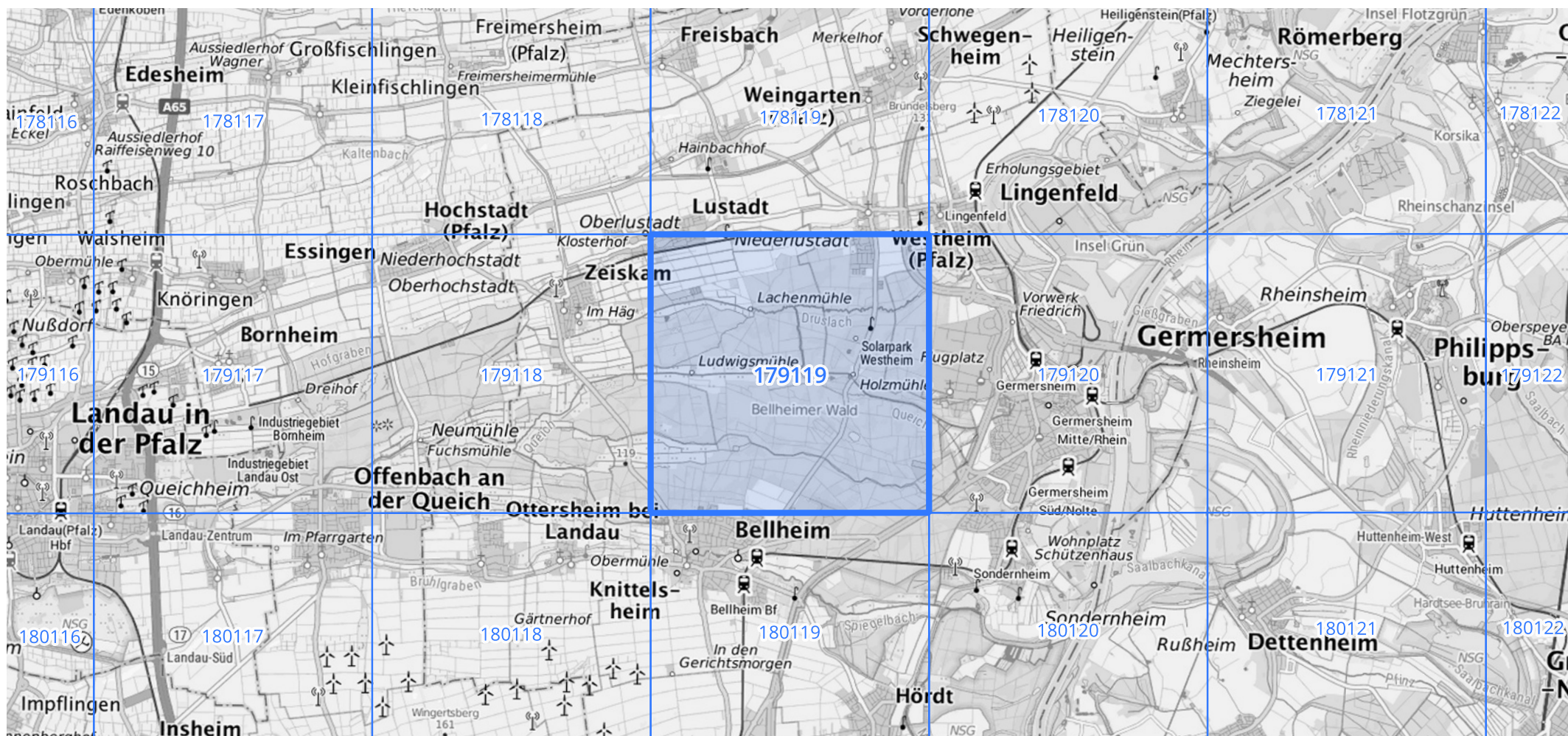
Siehe auch Anwendungshilfe zu KOSTRA-DWD-2020 des Deutschen Wetterdienstes.

Starkniederschlagshöhen und -spenden gemäß KOSTRA-DWD-2020

Rasterfeld 179119

(Zeile 179, Spalte 119)

Übersichtskarte des Rasterfeldes 179119, M 1 : 100 000



Quelle Rasterdaten: KOSTRA-DWD-2020 des Deutschen Wetterdienstes, Stand 12/2022.

Seite 3 von 3

Kartendarstellung: © Bundesamt für Kartographie und Geodäsie (2023), Datenquellen: https://sgx.geodatenzentrum.de/web_public/gdz/datenquellen/Datenquellen_TopPlusOpen.html

Für die Richtigkeit und Aktualität der Angaben wird keine Gewähr übernommen. Erstellt 01/2023.